

Тепловые процессы в технике. 2023. Т. 15. № 2. С. 79–87
Thermal processes in engineering, 2023, vol. 15, no. 2, pp. 79–87

Научная статья
УДК 62-977
DOI: 10.34759/tpt-2023-15-2-79-87

Проектное формирование теплоизоляции для терmostатирования элементов конструкций беспилотных летательных аппаратов, функционирующих в температурных условиях Арктики

В.А. Маскайкин^{1✉}

¹ Государственное научно-производственное предприятие «Регион», Москва, Россия
vladimir.maskaykin@mail.ru[✉]

Аннотация. Статья посвящена повышению термоизоляционных свойств беспилотных летательных аппаратов, эксплуатируемых в экстремальных температурах. Проводятся теоретические исследования формирования теплоизоляционной конструкции малой толщины, обеспечивающей высокие показатели теплоизоляции, методом проектирования. Путем проведения теоретического исследования теплообмена различных многослойных схем теплоизоляционной конструкции с вариацией различных характеристик ее материалов, определяется оптимальная схема теплоизоляционной конструкции и входящие в нее характеристики материалов. Проводится сравнительный анализ аналогов, используемых в качестве теплоизоляции летательного аппарата, с теплоизоляционной конструкцией, рассматриваемой в работе. Теоретическое исследование теплообмена различных теплоизоляционных конструкций проводится численным конечно-разностным методом. По результатам теоретического исследования была разработана оптимальная теплоизоляционная конструкция, обеспечивающая высокие показатели теплоизоляции при малой толщине. Выявлены преимущества и недостатки теплоизоляционной конструкции, рассматриваемой в работе с аналогами теплоизоляционных конструкций, используемых в летательных аппаратах.

Ключевые слова: терmostатирование беспилотных летательных аппаратов, температурные условия Арктики, теплоизоляционные материалы, многослойная теплоизоляционная конструкция, двунаправленная прямоугольная схема армирования, нестационарная теплопроводность

Для цитирования. Маскайкин В.А. Проектное формирование теплоизоляции для терmostатирования элементов конструкций беспилотных летательных аппаратов, функционирующих в температурных условиях Арктики // Термальные процессы в технике. 2023. Т. 15. № 2. С. 79-87. DOI: 10.34759/tpt-2023-15-2-79-87

Original article

Thermal insulation design forming for thermostatting of the unmanned aerial vehicles functioning under arctic temperature conditions

V.A. Maskaykin^{1✉}

¹ Design Engineer of “State Research and Production Enterprise “Region”, Moscow, Russia
vladimir.maskaykin@mail.ru[✉]

© Маскайкин В.А., 2023

Abstract. The article is devoted to the up-to-date task of increasing thermal insulation properties of the unmanned aerial vehicles being operated at the extreme temperatures. Theoretical studies on forming a low thickness heat-insulating structure, ensuring high heat-insulation indices, are being conducted by the design method. Optimal heat-insulation scheme and characteristics of materials including in it are being determined by conducting theoretical study on the heat transfer of various multi-layer heat-insulating structures with of various characteristics variation of its materials. Comparative analysis of analogues, employed as heat isolation materials of the aircraft with the heat-insulating structure considered in this work, is being performed. Theoretical study of the heat exchange of various heat-insulating structures is being conducted by numerical finite-difference method. Optimal heat-insulating structure ensuring high indicators of heat insulation at small thickness was developed by the results of theoretical study. The pros and contras of the heat-insulating structure being considered on this work compared to their counterparts employed in the aircraft were revealed.

Keywords: thermostatting of unmanned aerial vehicles, Arctic temperature conditions, thermal insulation materials, multilayer thermal insulation structure, bidirectional rectangular reinforcement scheme, non-stationary thermal conductivity

For citation: Maskaykin V.A. Thermal insulation design forming for thermostatting of the unmanned aerial vehicles functioning under arctic temperature conditions. *Thermal processes in engineering*, 2023, vol. 15, no. 2, pp. 79–87. (In Russ.). DOI: 10.34759/tpt-2023-15-2-79-87

Введение

Анализ литературных источников, в которых рассматривается проблема сохранения эффективности функционирования беспилотного летательного аппарата (БПЛА) в сложных метеорологических условиях, показал, что обеспечение температурных режимов работы бортовых систем, двигательных установок в экстремальных температурных условиях является важной и актуальной задачей [1–4]. Для обеспечения температурного режима БПЛА, работающего в непростых погодных условиях, сегодня используют системы термосваривания с применением различных теплоизоляционных конструкций и материалов. Например, широкое распространение в авиастроении получили минеральные волокнистые материалы, такие как стекловолокна, базальтовые, кварцевые и муллитокремнеземные волокна, волокна на основе оксида алюминия [5–8]. Под теплоизоляционной конструкцией понимается конструкция со структурным распределением в ней различных материалов. Как правило, такие конструкции состоят из основного материала – теплоизоляционного или теплозвукоизолирующего наружного защитного покрытия – и крепления. Теплоизоляционные конструкции имеют разнообразные исполнения и решения. В частности, теплоизоляцию выполняют из одного или нескольких слоев отдельных пластин, панелей, которые крепят к шпангоутам и стрингером различными креплениями в виде козырьков, застежек и шнурков [9–14].

Существуют также конструктивные решения применения теплоизоляции в летательных аппаратах, в которых теплоизоляцию устанавливают на несущую конструкцию внутреннего каркаса, стрингеры и рамы расположены на наружной стороне конструкции [15].

В настоящей работе проводятся исследования по проектированию теплоизоляционной конструкции с высокими показателями теплоизоляции и малой толщины, отвечающей требованиям эксплуатации БПЛА.

Метод определения многослойной структуры теплоизоляционной конструкции, обеспечивающей высокие показатели теплоизоляции

В научной работе [16] определялась структура распределения различных материалов и их взаимодействие между собой в элементе теплоизоляционной конструкции (ТК) для получения лучших результатов теплоизоляции. Из рассмотренных структур распределения материалов в элементе ТК наиболее лучшие результаты теплоизоляции получила конструкция с распределением материалов по слоям. Необходимое распределение слоев материалов в элементе ТК в работе [16] не определялось. При взаимодействии материалов между собой наиболее высокие результаты теплоизоляции получили те ТК, в которых участвовал материал с низкой теплопроводностью и малой плотностью, взаимодействующий с материалом, имеющим высокую плотность.

Причем прямое воздействие подаваемой температуры должно проходить на материал с низкой теплопроводностью и малой плотностью.

Для определения необходимого распределения слоев материалов в элементе ТК, обеспечивающей высокие показатели теплоизоляции, рассмотрим нестационарную теплопроводность элементов конструкций, область решения которых представлена на рис. 1.

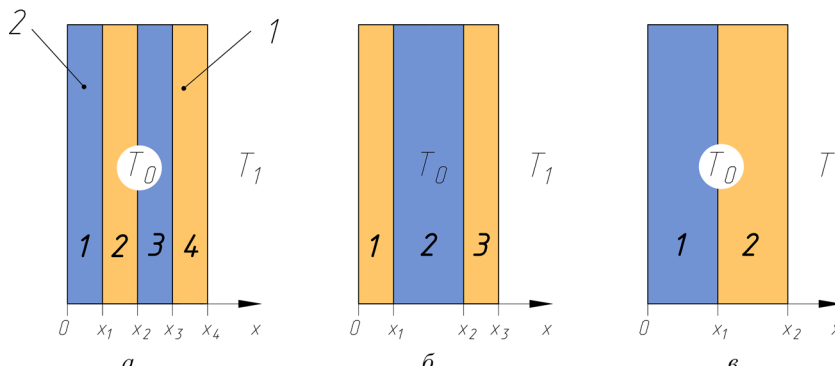


Рис. 1. Область решений ТК: а – четырехслойная ТК; б – трехслойная ТК; в – двухслойная ТК; 1 – минеральная вата; 2 – углеродистая сталь

Исследование нестационарной теплопроводности ТК проводится при воздействии температуры $T_1 = -50^{\circ}\text{C}$ при начальной температуре конструкций $T_0 = +25^{\circ}\text{C}$. Время воздействия температуры $t = 2$ часа. Толщину предлагаемой конструкции примем равную 20 мм.

При исследовании теплопроводности ТК принимаются допущения:

- между слоями материалов в ТК обеспечивается абсолютный контакт;
- характеристики теплопроводности материалов являются постоянными в пределах заданных температурных условиях.

Математическая постановка задачи теплопроводности различных ТК имеет следующий вид [17–19].

1. Уравнение теплопроводности для рассматриваемых конструкций:

– для четырехслойной ТК:

$$\begin{cases} \frac{\partial T_1}{\partial t} = a_1 \frac{\partial^2 T_1}{\partial x^2}, & 0 < x < x_1; \\ \frac{\partial T_2}{\partial t} = a_2 \frac{\partial^2 T_2}{\partial x^2}, & x_1 < x < x_2; \\ \frac{\partial T_3}{\partial t} = a_3 \frac{\partial^2 T_3}{\partial x^2}, & x_2 < x < x_3; \\ \frac{\partial T_4}{\partial t} = a_4 \frac{\partial^2 T_4}{\partial x^2}, & x_3 < x < x_4; \end{cases} \quad (1)$$

– для трехслойной ТК:

$$\begin{cases} \frac{\partial T_1}{\partial t} = a_1 \frac{\partial^2 T_1}{\partial x^2}, & 0 < x < x_1; \\ \frac{\partial T_2}{\partial t} = a_2 \frac{\partial^2 T_2}{\partial x^2}, & x_1 < x < x_2; \\ \frac{\partial T_3}{\partial t} = a_3 \frac{\partial^2 T_3}{\partial x^2}, & x_2 < x < x_3; \end{cases} \quad (2)$$

– для двухслойной ТК:

$$\begin{cases} \frac{\partial T_1}{\partial t} = a_1 \frac{\partial^2 T_1}{\partial x^2}, & 0 < x < x_1; \\ \frac{\partial T_2}{\partial t} = a_2 \frac{\partial^2 T_2}{\partial x^2}, & x_1 < x < x_2, \end{cases} \quad (3)$$

где $a = \frac{\lambda}{\rho c}$ – коэффициент температуропроводности; 1, 2, 3, 4 – нумерация слоев материала; x – координаты декартовой системы координат.

2. Начальные условия имеют вид:

$$t = 0: T = T_0, 0 < x < x_2, x_3, x_4. \quad (4)$$

3. На границе $x = x_2, x_3, x_4$ выполняется условие:

– для четырехслойной ТК:

$$x = x_4: T = T_1, t > 0; \quad (5)$$

– для трехслойной ТК:

$$x = x_3: T = T_1, t > 0; \quad (6)$$

– для двухслойной ТК:

$$x = x_2: T = T_1, t > 0. \quad (7)$$

4. На границе $x = 0$ выполняется условие

$$\left. \frac{\partial T}{\partial x} \right|_{x=0} = 0. \quad (8)$$

5. На границах между слоями материалов выполняются условия:

– для четырехслойной ТК:

$$\begin{cases} T_1(t, x_1) = T_2(t, x_1), \\ -\lambda_1 \left. \frac{\partial T_1}{\partial x} \right|_{x=x_1} = -\lambda_2 \left. \frac{\partial T_2}{\partial x} \right|_{x=x_1}; \\ T_2(t, x_2) = T_3(t, x_2), \\ -\lambda_2 \left. \frac{\partial T_2}{\partial x} \right|_{x=x_2} = -\lambda_3 \left. \frac{\partial T_3}{\partial x} \right|_{x=x_2}; \\ T_3(t, x_3) = T_4(t, x_3), \\ -\lambda_3 \left. \frac{\partial T_3}{\partial x} \right|_{x=x_3} = -\lambda_4 \left. \frac{\partial T_4}{\partial x} \right|_{x=x_3}; \end{cases} \quad (9)$$

– для трехслойной ТК:

$$\begin{cases} T_1(t, x_1) = T_2(t, x_1), \\ -\lambda_1 \frac{\partial T_1}{\partial x} \Big|_{x=x_1} = -\lambda_2 \frac{\partial T_2}{\partial x} \Big|_{x=x_1}; \\ T_2(t, x_2) = T_3(t, x_2), \\ -\lambda_2 \frac{\partial T_2}{\partial x} \Big|_{x=x_2} = -\lambda_3 \frac{\partial T_3}{\partial x} \Big|_{x=x_2}; \end{cases} \quad (10)$$

– для двухслойной ТК:

$$\begin{cases} T_1(t, x_1) = T_2(t, x_1), \\ -\lambda_1 \frac{\partial T_1}{\partial x} \Big|_{x=x_1} = -\lambda_2 \frac{\partial T_2}{\partial x} \Big|_{x=x_1}. \end{cases} \quad (11)$$

Краевые задачи для уравнений (1)–(3) с учетом начальных и граничных условий (4)–(11) решались конечно-разностным методом на равномерной сетке 1×200 с шагом 0.0001 с использованием неявной схемы [20].

Результаты определения многослойной структуры ТК, обеспечивающей высокие показатели теплоизоляции

Представленные на рис. 2, 3 и в табл. 1 результаты исследования теплопроводности ТК с различными вариантами исполнений показывают, что наиболее высокие показатели теплоизоляции при воздействии отрицательной температуры при временном воздействии 2 часа имеют ТК в исполнении № 2.3 и ее вариантов. Температура на границе $x = 0$ дан-

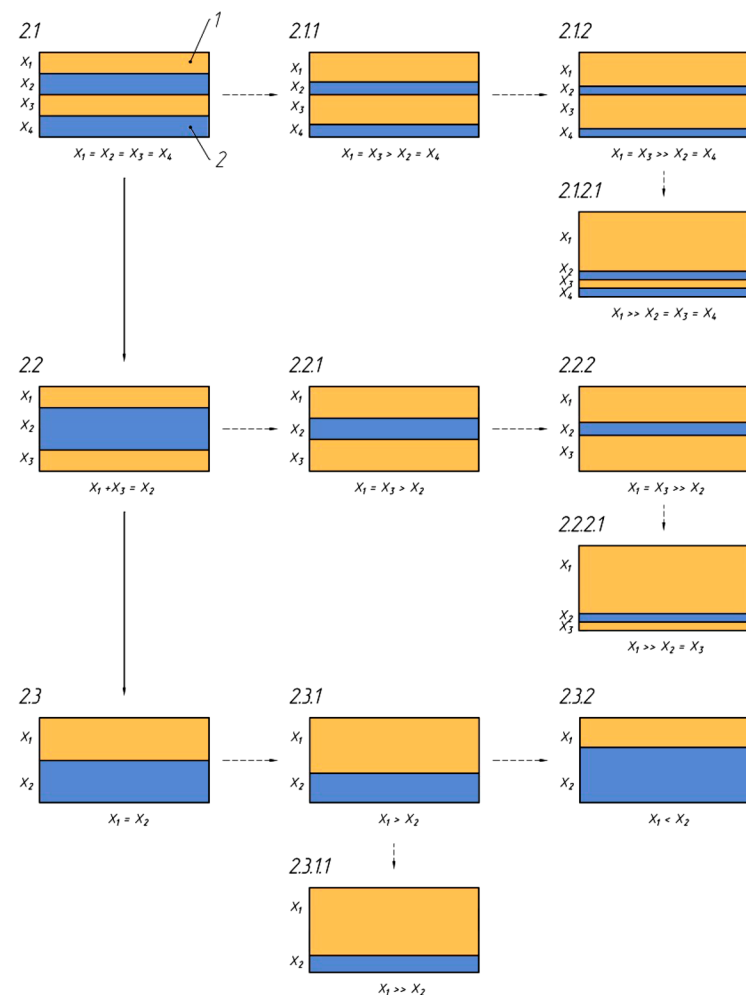


Рис. 2. Схема формирования оптимальной ТК по массе и теплоизоляции: 1 – теплоизоляционный материал; 2 – углеродистая сталь

ных ТК для исполнений: № 2.3 опустилась на 43 °C; № 2.3.1 опустилась на 47 °C; № 2.3.2 опустилась на 54 °C; № 2.3.2 опустилась на 48 °C.

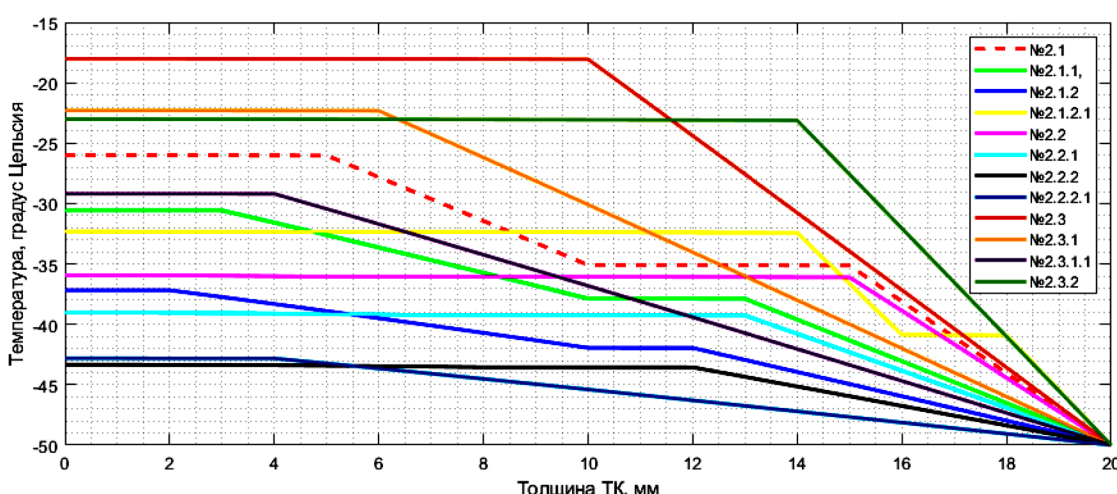


Рис. 3. Результаты исследования теплопроводности вариантов исполнений ТК при временном воздействии температуры

Наиболее незначительные результаты исследования имеют ТК в исполнении № 2.2 и ее вариантов. Температура на границе $x = 0$ этого исполнения и ее вариантов опускается на 61–68 °C. Если учитывать массу и теплоизоляционные показатели ТК, то наиболее оптимальным вариантом выявляется ТК исполнения № 2.3.1.1, масса которого на 1 м² составляет 34 кг.

Таблица 1. Показатели теплоизоляции и массы ТК

№ ТК	Температура на границе $x = 0$, °C	Масса ТК, кг на 1 м ²
2.1	-26	80
2.2	-36	
2.3	-18	
2.1.1	-30	50
2.2.1	-39	
2.3.1	-22	
2.1.2	-37	34
2.1.2.1	-32	
2.2.2	-43	
2.2.2.1	-42	34
2.3.1.1	-29	
2.3.2	-23	110

Метод определения теплофизических характеристик материалов ТК, обеспечивающих оптимальные показатели массы и теплоизоляции

Как показали предыдущие исследования, при уменьшении толщины задействованного материала в виде углеродистой стали теплоизоляционные показатели ТК падают, как и ее масса. Решение данной проблемы можно найти в неоднородности материала. Таким образом, рассмотрим углеродистую сталь в виде сетки, которая имеет двунаправленную прямоугольную схему армирования.

Для получения высоких показателей теплоизоляции и малой массы ТК проведем исследование теплопроводности ТК со слоем армирующего материала различной пористости (табл. 2). Область решения исследования представлена на рис. 4.

Таблица 2. ТК в зависимости от пористости слоев армирующего материала в нем

№ ТК	3.1	3.2	3.3	3.4	3.5	3.6
Пористость слоев армирующего материала в ТК, %	10	30	50	70	90	95

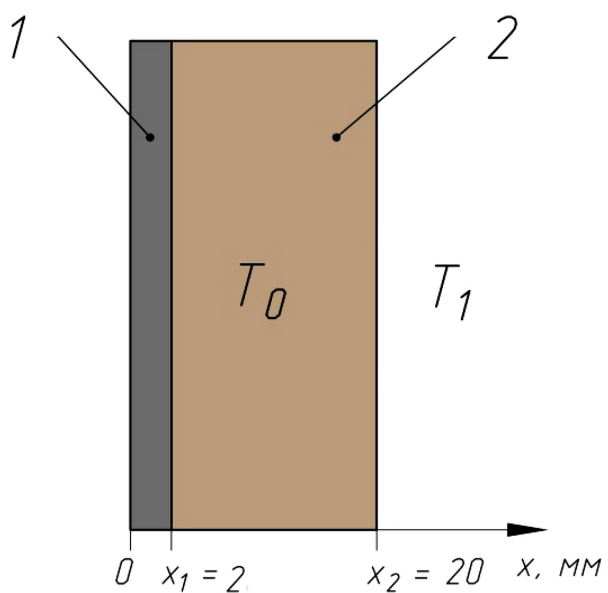


Рис. 4. Область решений ТК: 1 – слои армирующего материала; 2 – теплоизоляционный материал (минеральная вата)

Как и в предыдущем исследовании, математическая постановка задачи теплопроводности ТК состоит из уравнения (3) и начальных, граничных условий (4), (7), (8), (11). Задача решалась конечно-разностным методом на равномерной сетке 1×200 с шагом 0,0001 с использованием неявной схемы.

Для увеличения показателей теплоизоляции материала в качестве вещества пор армируемого материала рассмотрим герметик, обладающий высокой удельной теплоемкостью.

Теплофизические характеристики армирующего материала определялись по следующим формулам:

– эффективный коэффициент теплопроводности λ [21]:

$$\lambda = \lambda_1 \left[m_2^2 v + (1 - m_2)^2 + \frac{4v m_2 (1 - m_2)}{1 + v} \right], \quad (12)$$

где λ_1 – теплопроводность волокон; m_2 – пористость армирующего материала; $v = \lambda_2 / \lambda_1$, а λ_2 – теплопроводность вещества пор;

– плотность ρ [21]:

$$\rho = \rho_2 m_2 + \rho_1 (1 - m_2), \quad (13)$$

где ρ_1 – плотность волокна; ρ_2 – плотность вещества пор;

– удельная теплоемкость c :

$$c = c_2 m_2 + c_1 (1 - m_2), \quad (14)$$

где c_1 – удельная теплоемкость волокна; c_2 – удельная теплоемкость вещества пор.

Результаты определения теплофизических характеристик материалов ТК, обеспечивающих оптимальные показатели массы и теплоизоляции

Результаты исследования теплопроводности ТК с различными вариантами пористости армирующего материала, входящего в ТК, представлены на рис. 5.

Результаты данного исследования показывают, что выбор ТК с оптимальными параметрами массы и низкой теплопроводностью не очевиден. Для выбора ТК проведем исследования нестационарной теплопроводности аналогов конструкций при толщинах, необходимых для получения показателей теплопроводности ТК № 3.4 (пористость армирующего материала в ТК составляет 70 %). Область решения данной задачи представлена на рис. 6. Следует отметить, что в качестве аналогов ТК рассматривается именно слой теплоизоляционного материала, а не вся конструкция, поскольку из опре-

деления ТК и его конструктива, используемого в авиастроении, теплоизоляция обеспечивается именно теплоизоляционным слоем материала. Все остальные слои, применяемые в ТК, служат в качестве защитного покрытия.

В качестве теплоизоляционных конструкций рассматриваются материалы с физическими свойствами, представленными в табл. 3.

Таблица 3. Характеристики теплоизоляционных материалов

Материал	№	Коэффициент теплопроводности, Вт/(м·°C)	Плотность, кг/м ²
Минеральная вата	4.1	0.045	160
Стекловата	4.2	0.046	85
Вспененный пенополистирол	4.3	0.04	40
Пенополиуретан	4.4	0.04	200

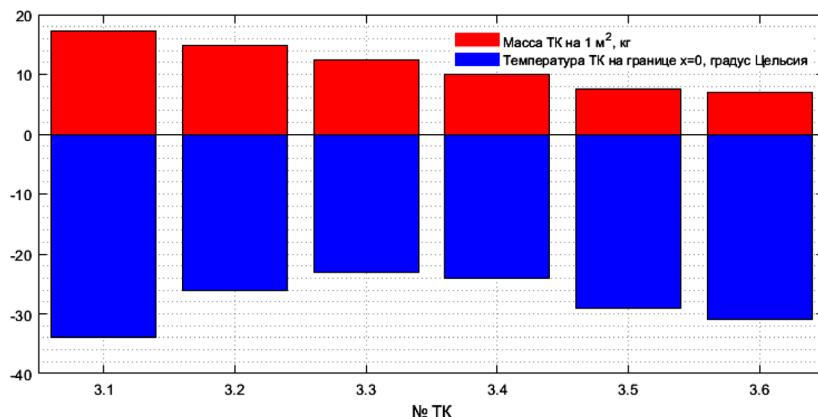


Рис. 5. Результаты исследования теплопроводности ТК с различными вариантами пористости армирующего материала, входящего в него

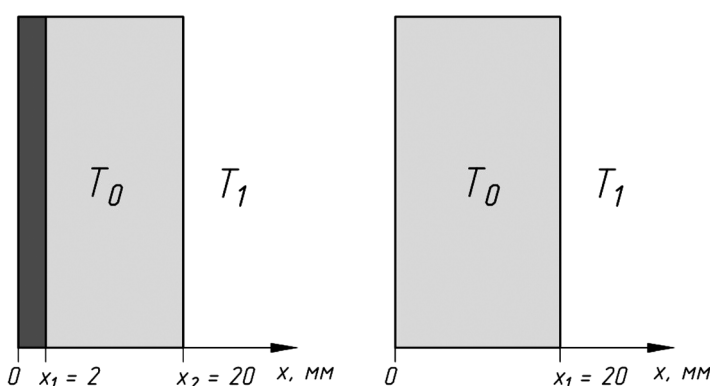


Рис. 6. Область решения задачи

1) для получения показателей теплопроводности ТК № 3.4 с материалом в нем № 4.1 материалу № 4.1, без использования армирующего материала, необходима толщина, которая составляет 70 мм, а масса 11 кг, что в 3.5 раза больше по толщине и в 1.1 раза больше по массе;

2) для получения показателей теплопроводности ТК № 3.4 с материалом в нем № 4.4 материалу № 4.4 без использования армирующего материала необходима толщина,

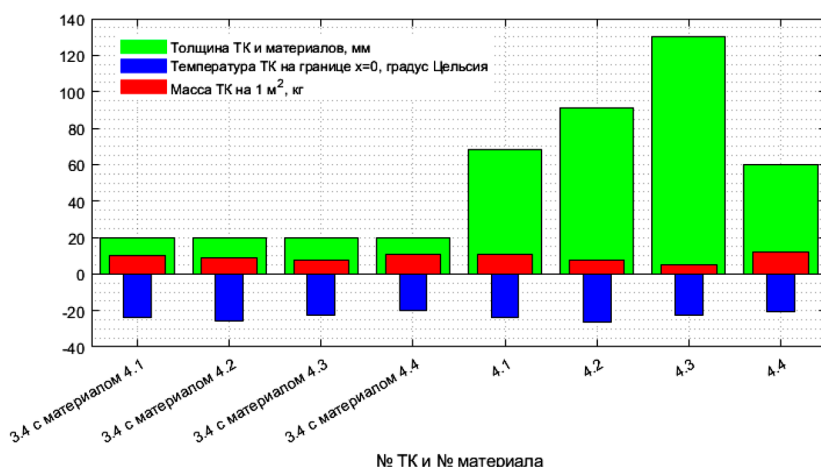


Рис. 7. Результаты теплопроводности ТК и материалов

которая составляет 60 мм, а масса 12 кг, что в три раза больше по толщине и в 1.2 раза больше по массе.

Худшие показатели с точки зрения массы, но также выигрывающие по толщине, имеют конструкции, где задействован слой теплоизоляционного материала, имеющий низкую плотность. Как, например, ТК № 3.4 со слоями материалов в нем № 4.2 и 4.3:

1) для получения показателей теплопроводности ТК № 3.4 с материалом в нем № 4.2 материалу № 4.2, без использования армирующего материала, необходима толщина, которая составляет 90 мм, а масса 8 кг, что в 4.5 раза больше по толщине и в 1.1 раза меньше по массе;

2) для получения показателей теплопроводности ТК № 3.4 с материалом в нем № 4.3 материалу № 4.3 без использования армирующего материала необходима толщина, которая составляет 60 мм, а масса 12 кг, что в 6.5 раза больше по толщине и в 1.5 раза меньше по массе.

Дальнейшее повышение пористости армирующего материала, участвующего в ТК, сопровождается уменьшением показателя теплоизоляции, как и массы для всех рассмотренных ТК и материалов.

Заключение

Рассмотренные в работе теоретические исследования отражают разработку теплоизоляционных средств защиты БПЛА. Для обеспечения температурного режима БПЛА, функциони-

ирующего в условиях Арктики, в качестве его теплоизоляции, необходимо использовать конструкции в виде, представленном на рис. 2, под № 2.3.

Для уменьшения массы данной ТК, не ухудшая ее теплоизоляционные показатели, необходимо, чтобы материалы с высокой теплопроводностью, участвующие в ТК, имели пористую структуру. Данное решение позволяет варьировать и комбинировать теплофизические характеристики наполнителя и связующего до необходимых

в зависимости от взаимодействия применяемых материалов.

Данные решения и условия построения ТК приводят к уменьшению толщины (в качестве примера можно привести рассмотренные современные аналоги конструкций), в 3–6 раз не изменяя их теплоизоляционных показателей.

Список источников

1. Кузнецов И.Е., Мельников А.В., Рогозин Е.А., Страшко О.В. Методика учета влияния метеорологических факторов на эффективность применения беспилотных летательных аппаратов на основе системного анализа // Вестник Дагестанского технического университета. Технические науки. 2018. Т. 45. № 2. С. 125–139. DOI: 10.21822/2073-6185-2018-45-2-125-139
2. Рогозин Е.А., О.И. Бокова, Мельников А.В. Основные аспекты совершенствования методики оценки эффективности функционирования беспилотного летательного аппарата в условиях обледенения // Вестник Воронежского института МВД России. 2019. № 3. С. 21–33.
3. Клименков Г.П., Приходько Ю.М., Пузырев Л.Н., Харитонов А.М. Моделирование процессов обледенения летательных аппаратов в аэроклиматических трубах // Теплофизика и аэромеханика. 2008. Т. 15. № 4. С. 563–572.
4. Горбунов А.А., Галимов А.Ф. Влияние метеорологических факторов на применение и безопасность полета беспилотных летательных аппаратов с бортовым ретранслятором радиосигнала // Вестник Санкт-Петербургского университета ГПС МЧС России. 2016. № 1. С. 7–15.
5. Сытый Ю.В., Сагомонова В.А., Максимов В.Г., Бабашов В.Г. Звукотеплоизолирующий материал градиентной структуры ВТИ-22 // Авиационные материалы и технологии. 2013. № 2. С. 47–49.
6. Авиационные материалы: Справочник в 13 томах. Т. 9. Теплозащитные, теплоизоляционные и композиционные материалы, высокотемпературные неметаллические покрытия. Москва, 2011. 31 с.
7. Тарасов В.А., Тимофеев М.П., Ермакова Ю.В., Боярская Р.В. Анализ свойств и особенностей функциони-

- нирования высокопористых теплоизоляционных материалов на основе базальтового волокна // Вестник МГТУ им. Н.Э. Баумана. Серия «Машиностроение». 2013. № 4 (93). С. 120–129.
8. Гращенков Д.В., Балинова Ю.А., Тинякова Е.В. Керамические волокна оксида алюминия и материалы на их основе // Стекло и керамика. 2012. № 4. С. 32–36.
 9. Кузнецов С.П. Конкретная авиатехника. Самолет Як-42. Санкт-Петербург, 2022. 345 с.
 10. Волошин Ф.А., Кузнецов А.Н. и др. Самолет Ту-154. Конструкция и техническое обслуживание. Книга 1. Москва, 1975. 291 с.
 11. Задорожный Я.Н., Мамошин П.Н. Конструкция и летная эксплуатация самолета Ан-24. Москва, 1980. 142 с.
 12. Антонов О.К. Пассажирский самолет АН-14. Техническое описание. 2-е изд. Москва, 1964. 195 с.
 13. Данилов В.А. Вертолет МИ-8. Устройство и техобслуживание. Москва, 1988. 278 с.
 14. Monroe William Shumate, James W Stacy. Reinforced Insulation Product and System Suitable for Use in an Aircraft. Patent U.S. 7278608 B2, Int. Cl. B 64 C 1/00. No. 11/167'864 (2007).
 15. Конструктивный компонент фюзеляжа самолета или космического летательного аппарата со слоем пены в качестве теплоизоляции: патент Российской Федерации / Колах Микаэл, Вентцел Ханс-Петер, Дольцински Вольф-Дитрих, Херман Ральф. – № 2009124191/11; заявл. 18.01.2008; опубл. 20.09.2012. Бюл. № 26.
 16. Маскайкин В.А., Махров В.П. Исследование конвективного теплообмена структурированного, неоднородного элемента, служащего как теплоизоляционный слой обшивки авиационных изделий // Тепловые процессы в технике. 2021. Т. 13. № 5. С. 230–237. DOI: 10.34759/tpt-2021-13-5-230-23
 17. Кузнецов Г.В., Шеремет М.А. Разностные методы решения задач теплопроводности: учебное пособие. Томск, 2007. 172 с.
 18. Крайнов А.Ю., Миньков Л.Л. Численные методы решения задач тепло- и массопереноса: учебное пособие. Томск, 2016. 92 с.
 19. Самарский А.А., Вабищевич П.Н. Вычислительная теплопередача. Москва, 2003. 785 с.
 20. Самарский А.А. Теория разностных схем. Москва, 1989. 616 с.
 21. Дульнев Г.Н., Заричняк Ю.П. Теплопроводность смесей и композиционных материалов: справочная книга. Ленинград, 1974. 264 с.

References

1. Kuznetsov I.E., Melnikov A.V., Rogozin E.A., Strashko O.V. Methodology for accounting the influence of meteorological factors on the efficiency of application of unmanned aerial vehicles on the basis of system analysis. *Herald of Dagestan State Technical University. Technical Sciences*, 2018, 45 (2), pp. 125–139. (In Russ.). DOI: 10.21822/2073-6185-2018-45-2-125-139
2. Rogozin E.A., Bokova O.I., Melnikov A.V. Main aspects of improving the methodology for estimating the efficiency of functioning of unmanned aerial vehicles under conditions. *The bulletin of Voronezh Institute of the Ministry of Internal Affairs of Russia*, 2019, no. 3, pp. 21–33. (In Russ.)
3. Klimenkov G.P., Prikhod'ko Yu.F., Puzyrev L.N., Khartonov A.M. Modelling of icing of flying vehicles in climatic wind tunnels. *Thermophysics and Aeromechanics*. 2008, vol. 15, no. 4, pp. 563–572. (In Russ.)
4. Gorbunov A.A., Galimov A.F. The influence of meteorological factors on the use and flight safety of unmanned aerial vehicle with side repeater radio. *Saint-Petersburg university of State fire service of EMERCOM of Russia*, 2016, no. 1, pp. 7–15. (In Russ.)
5. Syty Yu.V., Sagomonova V.A., Maksimov V.G., Babashov V.G. VTI-22 sound and thermal insulation material of gradient structure. *Aviatsionnye materialy i tekhnologii*, 2013, no. 2, pp. 47–49. (In Russ.)
6. Aviacionnye materialy [Aircraft materials]. Spravochnik v 13 tomah. T. 9. Teplozashhitnye, teploizoljacionnye i kompozicionnye materialy, vysokotemperaturnye nemetallicheskie pokrytiya [Heat protection, thermal insulation and composite materials, hightemperature non-metallic coatings]. Moscow, 2011, 31 p. (In Russ.)
7. Tarasov V.A., Timofeyev M.P., Yermakova Yu.V., Boyarskaya R.V. Analysis of Properties and Peculiarities of Functioning of Highly Porous Insulating Materials Based on Basalt Fibre. *Herald of the Bauman Moscow State Technical University. Series Mechanical Engineering*, 2013, no. 4 (93), pp. 120–129. (In Russ.)
8. Grashchenkov D.V., Balinova Yu.A., Tinyakova E.V. Keramicheskiye volokna oksida alyuminija i materialy na ikh osnove [Aluminum oxide ceramic fibers and materials based on them, Glass and Ceramics]. *Glass and Ceramics*, 2012, no. 4, pp. 32–36. (In Russ.)
9. Kuznetsov S.P. Konkretnaya aviatekhnika. Samolet Yak-42 [Specific aviation technology. Aircraft Yak-42]. Saint-Petersburg, 2022, 345 p. (In Russ.)
10. Voloshin F.A., Kuznetsov A.N. et al. Samolet Tu-154. Konstruktsiya i tekhnicheskoye obsluzhivaniye. Kniga 1 [Tu-154 aircraft. Construction and maintenance. Book 1]. Moscow, 1975, 291 p. (In Russ.)
11. Zadorozhnyi Ya.N., Mamoshin P.N. Konstruktsiya i letnaya ekspluatatsiya samoleta An-24 [Design and flight operation of the An-24 aircraft]. Moscow, 1980, 142 p. (In Russ.)
12. Antonov O.K. Passazhirskiy samolet AN-14. Tekhnicheskoye opisanije [Passenger aircraft AN-14. Technical description]. Moscow, 1964, 195 p. (In Russ.)
13. Danilov V.A. Vertolet MI-8. Ustroystvo i tekhnobsluzhivaniye [Helicopter MI-8. Device and maintenance]. Moscow, 1988, 278 p. (In Russ.)
14. Monroe William Shumate, James W Stacy. Reinforced Insulation Product and System Suitable for Use in an Aircraft. Patent U.S. 7278608 B2, Int. Cl. B 64 C 1/00. No. 11/167'864 (2007).
15. Kolakh Mikael, Ventsel Khans-Peter, Dol'tinski Vol'f-Ditrikh, Kherman Ral'f. Konstruktivnyi komponent fyuzelyazha samoleta ili kosmicheskogo letatel'nogo appara so sloem peny v kachestve teploizolyatsii [Aircraft or spaceship structural component with heat-insulating foam layer]. Patent Rossiiskaia Federatsii no. 2009124191/11 (2012).
16. Maskaykin V.A., Makhrov V.P. The study of convective heat transfer structured, inhomogeneous element serving as a heat-insulating layer for the skin of aircraft products. *Thermal processes in engineering*, 2021, vol. 13, no. 5, pp. 230–237. (In Russ.). DOI: 10.34759/tpt-2021-13-5-230-23
17. Kuznecov G.V., Sheremet M.A. Raznostnye metody reshenija zadach teplopervodnosti [Difference methods for solving heat conduction problems]. Tomsk, 2007, 172 p. (In Russ.)
18. Krainov A.Yu., Minkov L.L. Chislennyye metody resheniya zadach teplomassooobmena [Numerical methods for solving

- problems of heat and mass transfer]. Tomsk, 2016, 92 p. (In Russ.)
19. **Samarskij A.A., Vabishhevich P.N.** Vychislitel'naja teploperekedača [Computational heat transfer]. Moscow, 2003, 785 p. (In Russ.)
20. **Samarsky A.A.** Teoriya raznostnykh skhem [Theory of difference schemes]. Moscow, 1989, 616 p. (In Russ.)
21. **Dul'nev G.N., Zarichnyak Y.U.P.** Teploprovodnost' smesey i kompozitsionnykh materialov [Thermal conductivity of mixtures and composite materials]. Leningrad, 1974, 264 p. (In Russ.)

Статья поступила в редакцию 07.11.2022; одобрена после рецензирования 10.01.2023; принята к публикации 14.02.2023.

The article was submitted on 07.11.2022; approved after reviewing on 10.01.2023; accepted for publication on 14.02.2023.